

การพารความร้อนในท่อที่มีครีบเกลียวสอดงูงาข้างใน

Convection Heat Transfer in a Circular Tube with Helical Coils Inserted

อนุสรณ์ ชินสุวรรณ (Anusorn Chinsuwan)*

บทคัดย่อ

การวิจัยในครั้งนี้มีวัตถุประสงค์เพื่อที่จะหาสมการความสัมพันธ์ของการพารความร้อนลำหัวท่อที่มีครีบเกลียวหน้าตัดกลมที่เป็นวนทางความร้อนสอดดอยู่ภายใน โดยมีจำนวนครีบเป็น 4, 6 และ 8 ครีบ และระยะช่วงครีบ (pitch) เป็น 2, 3 และ 5 เท่าของขนาดเส้นผ่าศูนย์กลางของท่อ การให้ความร้อนที่ผิวท่อเป็นแบบอุณหภูมิคงที่ การทดลองทำในช่วง $4000 < Re < 20000$ โดยใช้อากาศเป็นตัวกลางความร้อน ผลการทดลองที่ได้แสดงให้เห็นว่า ทั้งจำนวนครีบและระยะช่วงครีบ (pitch) มีอิทธิพลต่อการพารความร้อนที่เกิดขึ้น จากผลดังกล่าวได้นำมาสร้างความสัมพันธ์ของการพารความร้อนที่อยู่ในรูปความสัมพันธ์ของค่าตัวเลขนัสเลลท์ Nu (Nusselt Number) ค่าตัวเลขเรย์โนลต์ Re (Reynolds Number) จำนวนครีบเกลียว และอัตราส่วนระหว่างระยะช่วงครีบ (pitch) กับขนาดเส้นผ่าศูนย์กลางของท่อ

Abstract

The purpose of this research was to develop the correlation of convection heat transfer in a circular tube with helical coils inserted. The coils had a circular cross section and were thermal insulation. The number of inserted coils was 4, 6 and 8 and the coil pitches were 2, 3 and 5 times of tube diameter. Constant wall temperature was the thermal condition at tubes surface. The experiments were conducted in the region $4000 < Re < 20000$ with using atmospheric air as a heat transfer media. The experimental results show that both number of coils and coil pitch have the effects on the heat transfer coefficient. Correlation of convection heat transfer was developed in the correlation of Nusselt number (Nu), Reynolds number (Re), number of coil and the ratio of coil pitch to tube diameter.

คำสำคัญ : การพารความร้อนภายในท่อ ท่อครีบเกลียว

Keywords : Convection in a Tube, Tube with Helical Coil inserted

* ผู้ช่วยศาสตราจารย์ ภาควิชาวิศวกรรมเครื่องกล คณะวิศวกรรมศาสตร์ มหาวิทยาลัยขอนแก่น

บทนำ

เพื่อที่จะทำให้เครื่องแอลกเปลี่ยนความร้อนมีน้ำหนักเบา ขนาดเล็กลง และมีอัตราส่วนของอัตราการแอลกเปลี่ยนความร้อนต่อพื้นแอลกเปลี่ยนความร้อนสูงแล้ว ท่อที่นำมาใช้ในเครื่องแอลกเปลี่ยนความร้อนนั้นจะต้องให้มีสัมประสิทธิ์การพาราความร้อน (heat transfer coefficient) สูง ซึ่งผลตามมาก็คือ จะทำให้ได้เครื่องแอลกเปลี่ยนความร้อนมีน้ำหนักเบา ขนาดเล็กลง นอกจากนั้นแล้วยังส่งผลทำให้ต้นทุนในการผลิตเครื่องแอลกเปลี่ยนความร้อนลดลงอีกด้วย

ในปัจจุบันนี้ได้มีการวิจัยกันอย่างกว้างขวางเพื่อหาท่อที่มีลักษณะที่สามารถให้สัมประสิทธิ์การพาราความร้อนที่สูงขึ้น ยกตัวอย่างเช่น ท่อที่มีครีบเกลียวภายใน ท่อที่มีครีบภายในออก อย่างไรก็ตามท่อดังกล่าวในนี้ มีราคาที่สูงมากและไม่สามารถผลิตได้ในประเทศไทย ดังนั้น งานวิจัยในครั้งนี้จึงได้ทำการศึกษาการส่งเสริมการพาราความร้อนที่เกิดขึ้นโดยวิธีการนำอุปกรณ์ที่มีลักษณะเป็นครีบเกลียวที่มีหน้าตัดวงกลมและเป็นจวนๆ ทางความร้อนสอดเข้าภายในท่อผิวเรียบธรรมดา ทึ้งนี้ เพื่อต้องการศึกษาถึงเฉพาะผลของครีบเกลียวที่มีผลต่อการพาราความร้อนที่เกิดขึ้นโดยไม่มีอิทธิพลของการถ่ายเทความร้อนที่ครีบเกลียวมาเกี่ยวข้อง

Kakac at al. [1990] ได้ทำการสำรวจเพื่อรวบรวมงานขอบข่ายงานวิจัยที่เกี่ยวข้องกับการพาราความร้อนภายในท่อที่มีครีบเกลียวอยู่ภายในไว้ดังนี้ A.P. Watkinson ได้ทำการทดลองเพื่อหาค่าตัวเลขนัสเลลท์ (Nusselt Number) Nu ของการไหลภายในท่อที่มีครีบเกลียวอยู่ภายใน (internally finned tubes) โดยใช้ชั้นมั่นที่มีค่าตัวเลขแพรนด์ล (Prandtl Number) Pr ในช่วง $180 < \text{Pr} < 350$ เป็นตัวกลางในการพาราความร้อน ทำการทดลองในช่วงค่าตัวเลขเรย์โนลต์ (Reynolds Number) Re ในช่วง $50 < \text{Re} < 3000$ และการให้ความร้อนที่ผิวเป็นแบบอุณหภูมิคงที่ (constant wall temperature) W.J. Marner and A.E. Bergles ได้ทำการทดลองหาค่า Nu ของการไหลภายในท่อที่ครีบตรงตามแนวแกนท่อจำนวน 16 ครีบ โดยที่ตัวกลางในการพารา

ความร้อน และการไหลมีค่าตัวเลขแพรนด์ล (Prandtl Number) Pr และค่าตัวเลขเรย์โนลต์ (Reynolds Number) Re อยู่ในช่วง $24 < \text{Pr} < 85$ และตามลำดับ การทดลองทำทั้งสภาพการให้ความร้อนและการให้ความเย็น M.H. Soliman ได้ทำการวิเคราะห์การพาราความร้อนในท่อเกลียวที่มีการไหลแบบลามินาร์ (laminar) ในช่วงที่รูปร่างการแจกแจงความเร็วและอุณหภูมิคงตัวแล้ว (fully developed laminar flow) โดยมีมุมเอียงของเกลียว (helix angle) ในช่วง $1.5^\circ < \theta < 3^\circ$ T.C. Carnavos ได้ทำการทดลองและเก็บข้อมูลเพื่อหาสมการคำนวณความสัมพันธ์ระหว่างค่าตัวเลขนัสเลลท์ (Nusselt Number) Nu กับ ค่าตัวเลขเรย์โนลต์ (Reynolds Number) Re โดยที่ตัวกลางในการพาราความร้อนมีค่าตัวเลขแพรนด์ล (Prandtl Number) Pr ในช่วง $0.6 < \text{pr} < 30$ และ ค่าตัวเลขเรย์โนลต์ (Reynolds Number) Re ในช่วง $10000 < \text{Re} < 60000$ Yampolsky ได้ทำการทดลองการพาราความร้อนภายในท่อที่มีผิวเป็นลอน(corrugate) ที่มีมุมเอียงของลอนเป็น 30°

การวิจัยในครั้งนี้มีวัตถุประสงค์เพื่อจะได้สมการคำนวณความสัมพันธ์ระหว่างค่าตัวเลขนัสเลลท์ (Nusselt Number) Nu และค่าตัวเลขเรย์โนลต์ (Reynolds Number) Re สำหรับท่อที่มีครีบเกลียวที่เป็นจวนๆ ทางความร้อนสอดดอยู่ภายใน โดยมีจำนวนครีบ n เป็น 4, 6 และ 8 ครีบ และระยะช่วงครีบ (pitch) p เป็น 2, 3 และ 5 เท่าของขนาดเส้นผ่าศูนย์กลางของท่อ การให้ความร้อนที่ผิวท่อเป็นแบบอุณหภูมิ การวิจัยจะดำเนินช่วง $4000 < \text{Re} < 20000$ และใช้อากาศเป็นตัวกลาง

ทฤษฎีที่เกี่ยวข้อง

การวิเคราะห์มิติ

หากกำหนดให้ $h, \rho, \mu, k, u_m, c_p, d, p$ และ n แทนสัมประสิทธิ์การพาราความร้อน (heat transfer coefficient) ความหนาแน่นของของไหลที่ไหลภายในท่อ ความหนีดของของไหล สัมประสิทธิ์การนำความร้อนของของไหล (thermal conductivity) ความเร็วเฉลี่ยของของไหลที่ไหลในท่อ ความร้อนจำเพาะของ

ของไหหล่ในท่อ ขนาดเส้นผ่าศูนย์กลางของท่อ ระยะช่วงครีบ และจำนวนของครีบ ตามลำดับแล้ว พบว่า

$$h = f[\rho, \mu, k, u_m, d, p, n] \quad (1)$$

จากสมการที่ (1) สามารถนำมาทำการวิเคราะห์มิติแล้ว (Webb, 1994) จะได้

$$Nu = f\left[Re, Pr, \frac{p}{d}, n\right] \quad (2)$$

เมื่อ $Nu = hd/k$, $Pr = \mu c_p / k$ และ $Re = \rho u_m D / \mu$ ซึ่งตัวแปรตั้งกล่าวถูกเรียกว่า ค่าตัวเลขนัสเซลท์ (Nusselt Number) Nu และค่าตัวเลขแพrndล์ (Prandtl Number) Pr และค่าตัวเลขเรย์โนลด์ (Reynolds Number) ตามลำดับ อย่างไรก็ตาม ใน การวิจัยในครั้งนี้จะศึกษาในกรณีที่ของไหหล่ในท่อเป็นอากาศอย่างเดียวเท่านั้น ดังนั้น จึงสามารถเขียนสมการที่ (2) ได้เป็น

$$Nu = f\left[Re, \frac{p}{d}, n\right] \quad (3)$$

จากผลของการวิเคราะห์มิติที่ได้ดังสมการที่ (3) นี้ จะส่งผลทำให้สามารถออกแบบอุปกรณ์ที่ใช้ในการทดสอบเพื่อหาความสัมพันธ์ระหว่างค่าตัวเลขนัสเซลท์ (Nusselt Number) Nu และค่าตัวเลขเรย์โนลด์ (Reynolds Number) Re ได้ ซึ่งจะกล่าวในหัวข้อต่อไปนี้

ความสัมพันธ์ของทฤษฎีกับการทดสอบ
เมื่อพิจารณาการถ่ายเทความร้อนที่เกิดขึ้นภายในท่อ
ทดสอบ หากกำหนดให้ L , $T_{a,i}$, $T_{a,o}$ และ T_s เป็น¹
ความยาวของท่อทดสอบ อุณหภูมิเฉลี่ยของอากาศที่เข้า
ท่อทดสอบ อุณหภูมิเฉลี่ยของอากาศที่ออกจากท่อ
ทดสอบ และอุณหภูมิเฉลี่ยของผิวท่อ ตามลำดับแล้ว

$$h\pi dL\Delta T_{ln} = \rho u_m \frac{\pi}{4} d^2 c_p [T_{a,o} - T_{a,i}] \quad (4)$$

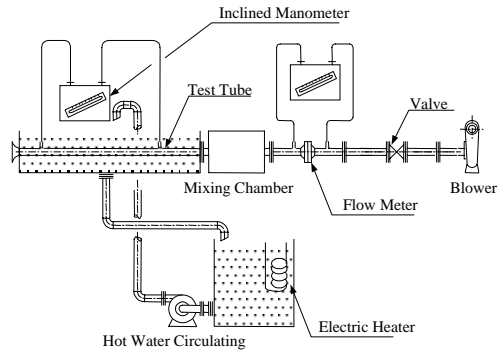
$$\text{เมื่อ } \Delta T_{ln} = \frac{T_{a,o} - T_{a,i}}{\ln \frac{T_s - T_{a,i}}{T_s - T_{a,o}}}$$

$$ดังนั้น h = \frac{\rho u_m d c_p \ln \left[\frac{T_s - T_{a,i}}{T_s - T_{a,o}} \right]}{4L} \quad (5)$$

$$\text{หรือ } Nu = \frac{hd}{k} = \frac{\rho u_m d^2 c_p \ln \left[\frac{T_s - T_{a,i}}{T_s - T_{a,o}} \right]}{4kL} \quad (6)$$

อุปกรณ์และวิธีวิจัย

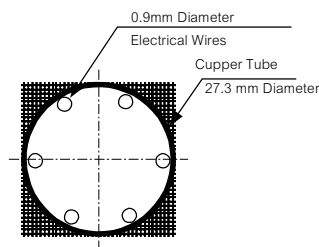
อุปกรณ์ที่ใช้ในการวิจัยครั้งนี้มีการจัดเรียงเป็นดังรูปที่ 1



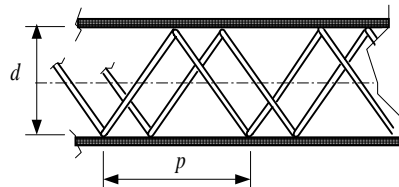
รูปที่ 1 การจัดเรียงอุปกรณ์ที่ใช้ในการวิจัย

อากาศจะไหหล่ผ่านท่อทดสอบได้โดยอาศัยการทำงานของพัดลม (blower) ที่ติดตั้งอยู่ในส่วนท้ายของอุปกรณ์ที่ใช้ทดสอบ เพื่อลดการปั่นป่วนที่อาจเกิดขึ้นจากการหมุนวนของใบพัดของพัดลม ท่อทดสอบจึงทำการติดตั้งโดยต่อเข้ากับด้านดูดของพัดลม ท่อปากแตรได้นำมาติดตั้งไว้บริเวณปากทางเข้าของท่อทดสอบ ทั้งนี้เพื่อหลีกเลี่ยงความไม่สม่ำเสมอของความเร็วของอากาศที่บริเวณปากทางเข้าของท่อทดสอบ อากาศที่ไหหล่ผ่านท่อทดสอบจะมีการแลกเปลี่ยนความร้อนกับผิวของท่อทดสอบที่ทำด้วยทองแดงที่แข็งอยู่ในน้ำที่มีอุณหภูมิ 70°C จากนั้นจะไหหล่เข้ากล่องผสม (mixing chamber) ออกสู่มาตรฐานอุตสาหกรรมไหหล่ ผ่านสู่วัลว์ปรับอัตราการไหหล่ และเข้าสู่พัดลมในที่สุด รายละเอียดของแต่ละอุปกรณ์เป็นดังนี้

ท่อทดสอบเป็นท่อทองแดงขนาดเส้นผ่าศูนย์กลาง 27.3 มิลลิเมตร ความหนาตามมาตรฐานของท่อทองแดงชนิด L (type L) ยาว 125 เซนติเมตร โดยมีสายไฟฟ้าที่มีจำนวนหุ้มขนาดเส้นผ่าศูนย์กลาง 0.9 มิลลิเมตร ทำเป็นเกลียวโดยพันรอบกับแบบที่เป็นห้องที่มีขนาดเส้นผ่าศูนย์กลางเล็กกว่าขนาดเส้นผ่าศูนย์กลางภายนอกท่อ แสดง 3 มิลลิเมตร (22 มิลลิเมตร) และสอด漉วงเกลียวสร้างขึ้นเข้าภายในห้องทดสอบ หลังจากนั้นจึงดึงแบบที่เป็นห้องออก ลักษณะของห้องทดสอบที่เสร็จแล้วเป็นดังรูปที่ 2 และ รูปที่ 3



รูปที่ 2 ภาพตัดตามยาวของห้องทดสอบ



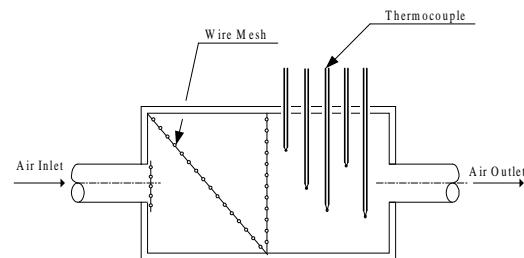
รูปที่ 3 ภาพตัดตามยาวของห้องทดสอบ
(แสดงครีบเกลียวเพียงสองเส้นเท่านั้น)

ทดสอบความร้อนไฟฟ้าขนาด 6000W ถูกใช้เป็นแหล่งให้ความร้อนแก่น้ำในอ่างผลิตน้ำร้อน น้ำร้อนที่ผลิตถูกควบคุมให้มีอุณหภูมิคงที่ที่ 70°C ด้วยการทำงานของเทอร์โมสตาร์ท น้ำร้อนจะไหลวนจากอ่างผลิตน้ำร้อนไปยังอ่างน้ำร้อนที่แข็งห้องทดสอบแล้วไหลวนกลับ ด้วยการทำงานของเครื่องสูบน้ำขนาด $1/2\text{ hp}$

ห้องแดงเป็นวัสดุที่มีค่าสัมประสิทธิ์การนำความร้อนที่สูงและห่อที่ใช้บางมาก จึงสามารถประมาณได้ว่าอุณหภูมิของผิวห้องด้านในมีค่าใกล้เคียงกับผิวด้านนอกมาก ดังนั้น อุณหภูมิเฉลี่ยของผิวด้านในห้อง

สามารถหาได้จากค่าเฉลี่ยของอุณหภูมิที่ผิวด้านนอกห้องทดสอบที่บริเวณทางเข้า กึ่งกลาง และที่ทางออกของห้องทดสอบ

เนื่องจากอุณหภูมิของอากาศที่ออกจากห้องทดสอบที่บริเวณใกล้ๆ กับผิวห้องทดสอบที่อยู่ไกลจากผิวห้องออกมาตรฐานแนวร่วมนี้มีค่าต่างกันมาก ดังนั้น จึงจำเป็นต้องให้อุณหภูมิดังกล่าวเกิดการผสมกันก่อนทำการวัดหากอุณหภูมิเฉลี่ยในการวิจัยครั้นนี้จึงใช้กล่องผสม (mixing chamber) ทำด้วยไม้อัดหนา 10 มิลลิเมตร มีขนาดความกว้าง ยาว และสูงเป็น 15, 30 และ 10 เซนติเมตร ตามลำดับ ภายนอกหุ้มด้วยฉนวนไยแก้วหนา 2 นิ้ว มีตะแกรงลดขนาดความกว้างของช่อง 10 มิลลิเมตร ติดตั้งข้างการไหลของอากาศที่บริเวณช่องทางเข้า บริเวณแนวกึ่งกลางของกล่อง และขวางในแนวทะแยงจากขอบน่องกล่องด้านทางเข้าสู่พื้นด้านล่างบริเวณกึ่งกลางของกล่อง ดังรูปที่ 4



รูปที่ 4 กล่องผสม

การวัดอัตราการไหลของอากาศที่ผ่านห้องทดสอบในการวิจัยในครั้นนี้ใช้แผ่นออริฟิส (orifice plate) แบบวัดผลต่างความดันที่ D และ $D/2$ ซึ่งสร้างขึ้นตามมาตรฐาน ISO 5167-1 (International Organization for Standardization, 1991)

หลังจากการตรวจสอบความเรียบร้อยของเครื่องมือแล้ว ดำเนินการทดลองตามขั้นตอนดังต่อไปนี้ เปิดเครื่องสูบน้ำ ปรับวาล์วที่ด้านล่างของเครื่องสูบและวาล์วที่ระบายน้ำออกจากอ่างน้ำห้องทดสอบและอยู่จนกระหั่งระดับในอ่างดังกล่าวอยู่สูงกว่าผิวห้อง 2 นิ้ว เปิดชุด漉 ทำความสะอาดร้อน โดยตั้งอุณหภูมิที่เทอร์โมสตัฟไว้ที่ 70°C

ร่องน้ำที่ตั้งอุณหภูมิที่ผิวท่อทุกจุดคงที่ ซึ่งจะใช้เวลาประมาณ 2 ชั่วโมง เปิดพัดลมโดยวาร์คุบคุมการไหลของอากาศอยู่ที่ตำแหน่งเปิดสุด และปรับให้ได้อัตราการไหลตามต้องการ ร่องน้ำที่ตั้งอุณหภูมิของผิวท่อ และอุณหภูมิที่กล่องผสมมีค่าคงที่ บันทึกผลต่างความดันที่คลื่อเมื่อนำอุณหภูมิ ผลต่างความดันที่ต่ออุทธสอบ อุณหภูมิของผิวท่อ อุณหภูมิที่กล่องผสม และอุณหภูมิที่ทางเข้าท่ออุทธสอบ ลดอัตราการไหลของอากาศที่เข้าท่ออุทธสอบโดยการปรับวาร์คุบคุมการไหลของอากาศตามที่ต้องการ ร่องน้ำที่ตั้งอุณหภูมิทุกจุดมีค่าคงที่ และทำการบันทึกผลที่ค่าอัตราการไหลต่างๆ ที่ต้องการ

ผลการวิจัย

การวิจัยนี้ได้ทำการทดลองเพื่อหาข้อมูลของการพาราความร้อนภายในท่อทั้งท่อเรียบและท่อที่มีเครื่องเกลี่ยวสอดอยู่ภายใน

ผลของการพาราความร้อนของท่อเรียบที่ได้จากการวิจัยเมื่อเทียบกับสมการทำนายผลค่าตัวเลขนัสเซลล์ (Nusselt Number) Nu ของ Colburn (Ozisik, 1985) ซึ่งมีความสัมพันธ์เป็น

$$Nu = 0.023 Re^{0.8} Pr^{1/3} \quad (7)$$

เป็นดังรูปที่ 5 จากข้อมูลที่ได้พบว่า ค่าตัวเลขนัสเซลล์ มีค่าความคลาดเคลื่อนสูงสุดและเฉลี่ยเป็น -16.3% และ 17% ตามลำดับ

ผลของการพาราความร้อนภายในท่อที่มีเครื่องเกลี่ยวสอดอยู่ภายในที่มีความยาวของระยะช่วงครีบ (pitch) p เป็น 2, 3 และ 5 เท่าของขนาดเส้นผ่าศูนย์ มีจำนวนของครีบเกลี่ยว n เป็น 4, 6 และ 8 เส้น โดยมีการรักษาอุณหภูมิที่ผิวท่อให้คงที่และใช้อากาศเป็นตัวกลางในการพาราความร้อน เป็นไปดังรูปที่ 5 ถึงรูปที่ 7 โดยที่ ตัวเลขตามหลัง N และ P ของคำอธิบาย สัญลักษณ์ในกราฟแสดงผล เป็นตัวเลขระบุจำนวนครีบเกลี่ยวในท่อ และระยะช่วงของเกลี่ยวตามลำดับ เช่น N4P2D หมายถึง ภายในท่อมีเครื่องเกลี่ยวจำนวน 4 เส้น และมีระยะช่วงเกลี่ยวเป็น 2 เท่าของขนาดเส้นผ่าศูนย์กลาง หากนำผลที่ได้จากการวิจัยไปเปรียบเทียบ

ผลที่ได้จากการที่ (7) และ จะเป็นไปดังรูปที่ 6 ซึ่งแสดงให้เห็นว่า ท่อที่มีเครื่องเกลี่ยวสอดอยู่ภายในจะให้ค่าตัวเลขนัสเซลล์ (Nusselt Number) Nu ที่สูงกว่าท่อเรียบ เสมอสำหรับการไหลในช่วง $4000 < Re < 20000$ โดยทั้งระยะช่วงครีบ (pitch) p และจำนวนครีบ n นั้นมีอิทธิพลต่อการพาราความร้อนที่เกิดขึ้นโดยการพาราความร้อนจะมีแนวโน้มเพิ่มขึ้นเมื่อระยะช่วงครีบ (pitch) p และจำนวนครีบ n น้อยๆ

เมื่อพาราความสัมพันธ์ระหว่างค่าตัวเลขนัสเซลล์ (Nusselt Number) Nu กับค่าตัวเลขเรย์โนล์ด (Reynolds Number) Re ที่ได้จากการทดลองแล้ว พบว่า ความสัมพันธ์ดังกล่าว เป็นไปตามสมการดังต่อไปนี้

$$Nu = 0.00314 Re^{1.074} \quad (8)$$

ความสัมพันธ์ดังสมการที่ (8) เมื่อนำมาเปรียบเทียบกับผลการทดลองแล้ว จะเป็นดังรูปที่ 7 ซึ่งแสดงให้เห็นว่า ความสัมพันธ์นี้มีความสอดคล้องกับผลการทดลองค่อนข้างดี อย่างไรก็ตาม หากคำนึงถึงอิทธิพลของจำนวนครีบ เกลี่ยว และอัตราส่วนของระยะช่วงครีบ(pitch) ต่อขนาดเส้นผ่าศูนย์กลางของท่อ p/d ที่มีผลต่อค่าตัวเลขนัสเซลล์ (Nusselt Number) Nu และ จะได้ความสัมพันธ์ ดังต่อไปนี้

$$Nu = 0.0071 Re^{1.071} n^{-0.285} (p/d)^{-0.254} \quad (9)$$

เมื่อนำความสัมพันธ์ดังสมการที่ (9) นี้ไปเปรียบเทียบกับผลที่ได้จากการทดลอง ดังรูปที่ 8 พบร้า ความสัมพันธ์นี้มีความสอดคล้องกับผลที่ได้จากการทดลองมากกว่าความสัมพันธ์ตามสมการที่ (8)

สรุปและวิจารณ์ผล

ในการวิจัยครั้งนี้ พบร้า ทั้งจำนวนครีบและระยะช่วงครีบ (pitch) p ของครีบเกลี่ยวที่เป็นจำนวนมากที่สอดเข้าในท่อเรียบนั้นมีผลต่อการพาราความร้อนที่เกิดขึ้นภายในท่อโดยมีความสัมพันธ์ของ การพาราความร้อน เป็นไปตามสมการที่ (9) ซึ่งเป็นความสัมพันธ์ที่สามารถนำไปประยุกต์ใช้กับตัวกลางการพาราความร้อนที่เป็น

อาการที่การให้โลหะในช่วง โดยมีความคลาดเคลื่อนสูง สุดและเฉลี่ยเป็น -16.3% และ 17% ตามลำดับ

ผลของการวิจัยนี้ สามารถนำไปประยุกต์ใช้ในการส่งเสริมการพาราความร้อนภายในท่อเรียบได้โดยเพียง สอดครีบเกลียวที่เป็นจำนวนเข้าไปในท่อ ซึ่งครีบดังกล่าว จะจะทำมาจากวัสดุที่หาได้ทั่วไปที่สามารถลดความร้อนได้ อย่างเช่น วัสดุที่เป็นเครื่องปั้นดินเผา เป็นต้น

อีก การสอดครีบเกลียวเข้าไปในท่อเรียบนี้ จะทำให้เกิดความตันลดเพิ่มขึ้น ดังนั้น ในการนำการส่งเสริมพาราความร้อนวิธีนี้ไปใช้ จึงต้องมีการเพื่อกำลังของพัดลมสำหรับความตันลดที่เพิ่มในส่วนนี้ด้วย

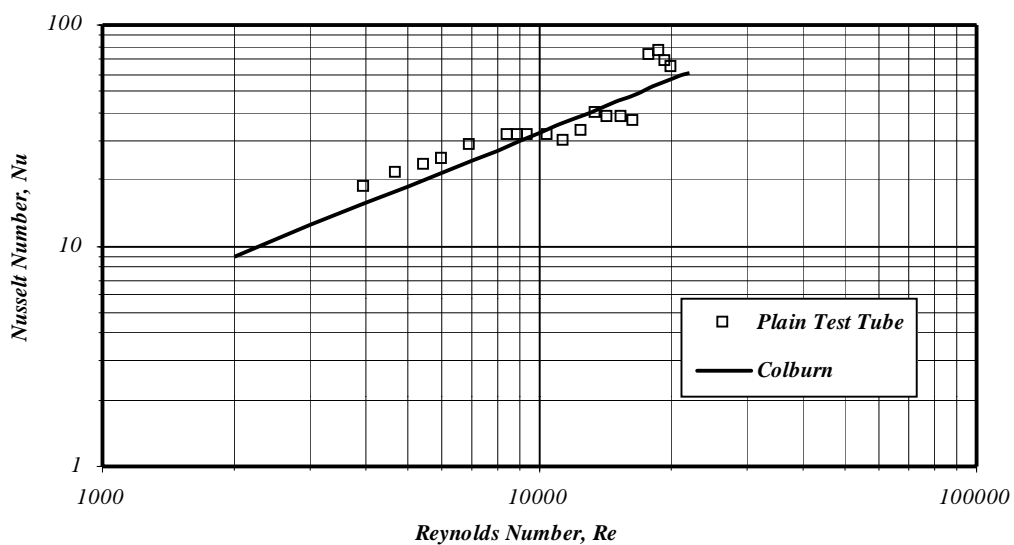
กิตติกรนประภาศ

งานวิจัยในครั้งนี้เป็นส่วนหนึ่งของ โครงการวิจัยการพาราความร้อนภายในท่อที่มีครีบเกลียวอยู่ภายใน

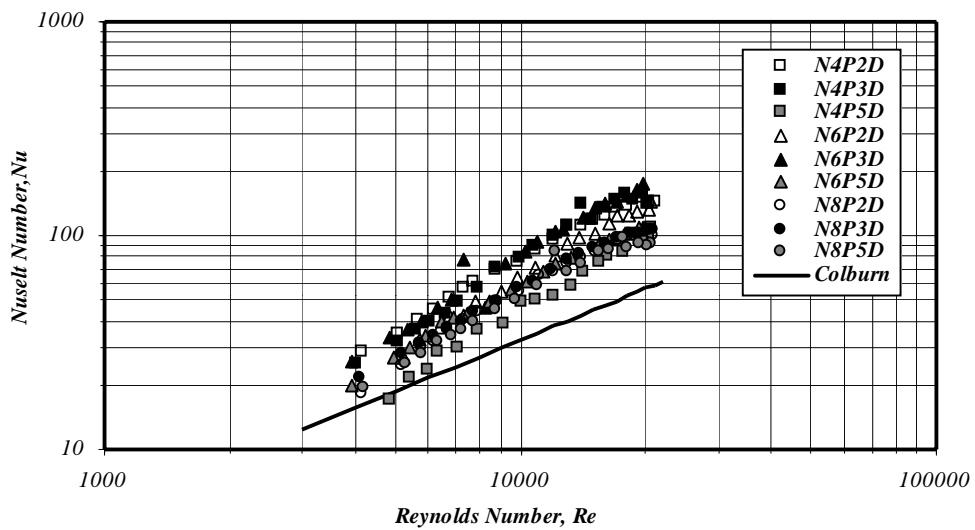
ซึ่งได้รับทุนวิจัย ประจำกองคุณหนุนท์วิภาวดี จากมหาวิทยาลัย ขอนแก่น ประจำปีงบประมาณ 2543 ผู้เขียนจึงขอขอบพระคุณมา ณ ที่นี่ด้วย

เอกสารอ้างอิง

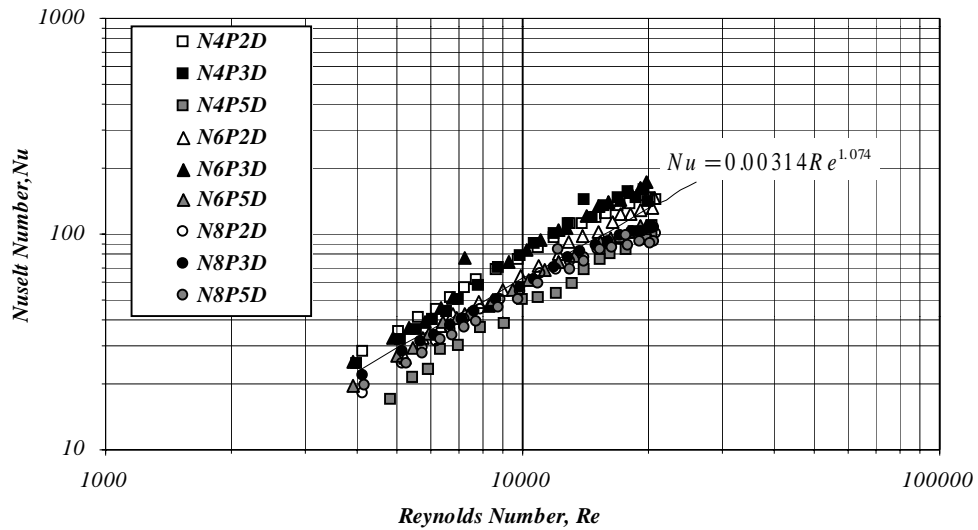
- Kakac, S., Shah R.K., and Aung W.. 1990. **Hand Book of Single-Phase Heat Transfer.** New York: John Wiley & Sons.
- International Organization for Standardization. 1991. **Measurement of Fluid Flow by Means of Pressure differential devices, Part 1.**
- Ozisik, M.N.. 1985. **Heat Transfer.** McGraw-Hill
- Webb, R.L., 1994. **Principles of Enhanced Heat Transfer.** New York: John Wiley & Sons.



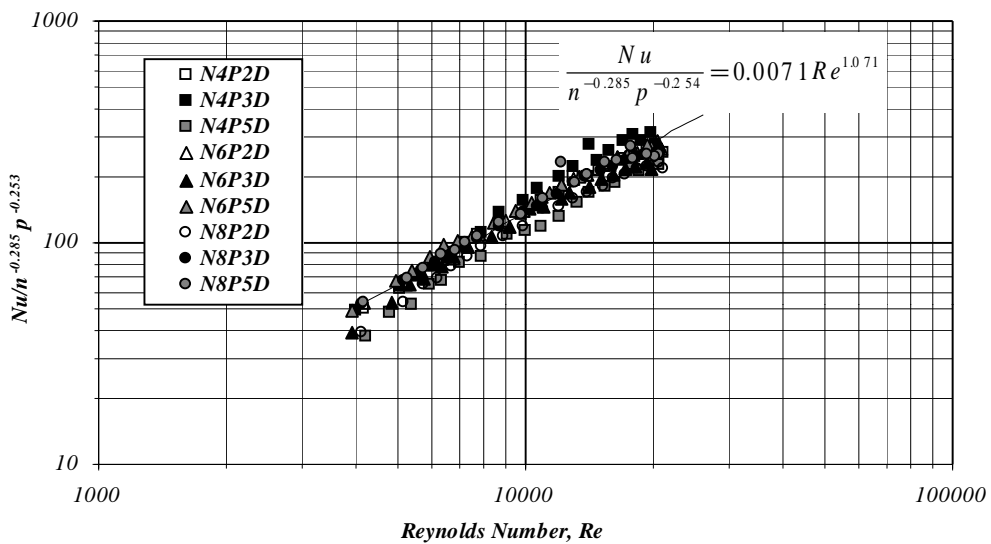
รูปที่ 5 การเปรียบเทียบความสัมพันธ์ระหว่างค่าตัวเลขนัสเซลท์ (Nusselt Number) Nu และค่าตัวเลขเรย์โนลต์ (Reynolds Number) Re ที่ได้จากการทดลองกับค่าที่ได้จากสมการของ Colburn



รูปที่ 6 ความสัมพันธ์ระหว่างค่าตัวเลขนัสเซลล์ (Nusselt Number) Nu และค่าตัวเลขเรย์โนล์ด์ (Reynolds Number) Re ที่ได้จากการทดลอง



รูปที่ 7 การเปรียบเทียบความสัมพันธ์ระหว่างข้อมูลที่ได้จากการทดลองและสมการคำนวณค่าตัวเลขนัสเซลล์(Nusselt Number) Nu ที่ได้



รูปที่ 8 การเปรียบเทียบเส้นโค้งความสัมพันธ์ของตัวเลขนัสเซลท์ (Nusselt Number) Nu กับข้อมูลที่ได้จากการทดลองโดยที่ $P = (p/d)$